

白鷗花崗岩의 風化에 따른 化學組成의 變化와 主要元素의 相對的 移動

南 基 昂*

Variation of chemical Composition and Relative migration of major Elements in the weathering of Baeg-Gu Granite

Ki Sang Nam*

ABSTRACT

Weathering of granites has a great geochemical significance, because of their chemical stability near the earth surface which is more pronounced than in most other rocks.

The author intended to observe the relative mobility of major elements in weathering process of the granite, distributed on outskirts of Iri city Jeolla-bugdo, Korea. He analysed fresh granites and weathered ones from the Baeg-Gu granite mass and obtained following conclusions in the triangle-diagrams and the oxidized variation diagrams of the samples.

- 1) The increasing phenomena of H_2O was observed clearly in early and late stages of weathering process.
- 2) The early stage of weathering is commenced by physical weathering and followed by chemical weathering.
- 3) The ratio of FeO/Fe_2O_3 , FeO/MgO , and SiO_2/Al_2O_3 decreased uniformly from early to late stage of weathering processes.
- 4) It was proved that weathering potential of granite was larger than that of basaltic rock.
- 5) The order of mobility in major elements was Ca, Na and $K < Si < Mg < Fe$ and Al .

1 序 言

地殼表面의 風化作用을 研究함에 있어서 構成岩石의 元素의 移動을 化學의 으로 포착한다는 것은 主要한 것이다. 이는 地殼內의 岩石과 堆積物과를 連結하는 主要한 役割을 하기 때문이다. 이는 岩石學의 으로 地殼物質의 分布를 考察함에 있어서 明白하게 되어야 할 問題의 하나이기도 하다. 岩石構成元素의 移動을 일으켜 주는 風化作用을 그 原因面에서 살펴보면 여러가지 要因이 있을 것이다. 그러나 보다 主要한것은 岩石의 組織, 造岩礫物의 安定度, 地形, 氣候條件 및 生物의 影響등이다. 이들 要因들은 結局은 自然地理의 要件이 크게支配한다고 생각된다. 즉 위도 경도 差에서

* 全北大學校 師範大學 地學科

오는 要因이 무엇보다 크다고 생각된다. 筆者는 前에도 花崗岩類 및 玄武岩類의 風化現像에서 오는 主要元素의 移動을 考察한바 있으며 今航에도 全羅北道 金提郡 白鷗面 白鷗里 採石場에서 採取된 試料를 分析하여 그 結果를 考察하였다. 여기서는 風化過程이 각각 다른 岩石試料를 採集하여 이들의 化學分析을 實시하면서 各成分元素의 相對的 移動面에서 考察했다. 化學分析은 石橋 澄九州大學 理學部 地質學教室의 好意에 依해서 實施하였음으로 그에게 深은 謝意를 表한다.

2 試料의 概說

試料는 原岩石으로 부터 風化의 各段階의 試料를 系統적으로 採取하였다. 採取地點의 理想的인 柱狀斷

面圖는 第 1 圖와 같다. 採取地點은 全州와 群山 間을 이어 주는 全一群道路區에 있는 金提郡 白鷗面 白鷗里의 採石場이다. 採取地點의 地表로 부터의 狀況은 第 1 圖

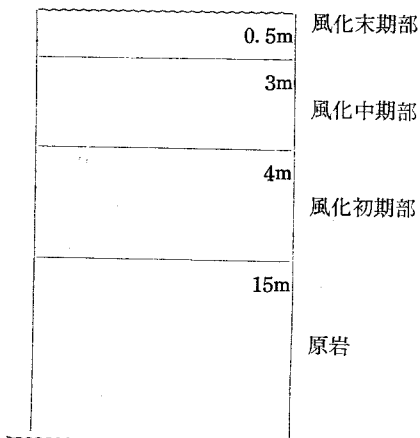


Fig. 1 Profile of sampling point at Baek-Gu granite and their weathered rocks.

와 같이 原岩으로 부터 風化末期岩까지에 걸쳐 試料를 段階的으로 採取하였다. 이때 各 試料는 風化度에 따라 新鮮한 原岩으로부터 漸次風化가 進行된 風化初期岩에서 風化中期岩을 거쳐 完全히 土壤化한 風化末期岩 등 4種類의 試料를 採取했다. 以下 各試料에 對해서 記載하면 다음과 같다.

1) 原岩 : 比較的 新鮮한 岩石으로 肉眼으로도 花崗岩의 組織을 쉽게 알 수 있으며 石英 長石 雲母等의 新鮮한 造岩礦物들이 보인다. 地表面은로 부터 約 15m

깊이의 것이다.

2) 風化初期部 : 外見上으로는 新鮮한 原岩과 비슷하나 손 끝으로 強壓하면 部分的に 破壞를 보여주는 岩石이다. 採取點은 地表로 부터 約 5m 깊이에 있다.

3) 風化中期部 : 比較的 風化가 많이 進行된 岩石으로 構成礦物은 거의 識別하기 어렵고 石英 黑雲母等만이 部分적으로 識別된다. 採取地點은 地表로 부터 約 3m의 깊이에 있다.

4) 風化末期部 : 一種의 土壤이며 比較的 有機物質이 混在하지 않는 것으로 地表로부터 約 50cm 깊이의 것이다.

이곳의 地質은 湖南平野의 一隅로 周邊一帶가 第四齋의 沖積層으로 덮여 있는 岩體로서 金玉準(1971)에 依하면 中期 쥬라紀인 것으로 알려진 黃登山 花崗岩과 同質의 花崗岩이다.

3 化學組成의 檢討

3-1 分析結果

各 試料의 分析值는 다음 같은 記號로 表 1에 나타난다. 이와의 比較를 위해서 全北의 黃登山 花崗岩과 日本 九州地方의 長垂 花崗岩 및 能古島 花崗閃綠岩도 함께 考察하였다.

白鷗花崗岩	黃登山花崗岩
BG-1 原岩	HG-1 原岩
BG-2 風化初期岩	HG-2 風化初期岩
BG-3 風化中期岩	HG-3 風化中期岩
BG-4 風化末期岩	HG-4 風化末期岩

Table 1. Chemical compositions of granitic rocks and their weathered part.

시료	BG-1	BG-2	BG-3	BG-4	HG-1	HG-2	HG-3	HG-4
SiO ₂	70.88	69.29	70.03	70.06	69.48	66.92	67.52	67.08
TiO ₂	0.25	0.26	0.27	0.39	0.39	0.51	0.29	0.39
Al ₂ O ₃	15.63	16.27	16.08	15.78	15.96	17.28	17.02	17.96
Fe ₂ O ₃	0.67	0.89	0.96	1.31	0.88	1.38	1.46	2.16
FeO	1.20	1.05	1.03	0.81	1.61	1.01	1.01	0.67
MnO	0.040	0.044	0.029	0.032	0.036	0.061	0.061	0.036
MgO	0.68	0.51	0.51	0.51	0.53	0.49	0.42	0.64
CaO	2.29	1.91	1.77	2.04	2.94	2.17	2.10	2.12
Na ₂ O	4.51	4.51	4.36	4.79	4.52	4.51	4.42	3.51
K ₂ O	3.76	4.78	4.44	4.01	3.91	4.49	4.49	3.45
H ₂ O ⁺	0.08	0.11	0.16	0.08	0.09	0.74	0.81	1.57
H ₂ O ⁻	0.03	0.08	0.13	0.13	0.02	0.18	0.14	0.22
P ₂ O ₅	0.10	0.105	0.107	0.130	0.13	0.16	0.15	0.12
Total	100.120	99.809	99.876	100.072	100.036	99.901	99.941	99.806

시료 성분	NG-1	NG-2	NG-3	NG-4	NKG-1	NKG-2	NKG-3	NKG-4
SiO ₂	2.56	72.13	70.16	74.38	69.98	62.29	59.35	64.43
TiO ₂	0.13	0.11	0.19	0.09	0.13	0.55	0.46	0.30
Al ₂ O ₃	14.61	15.17	17.22	11.69	16.73	19.19	17.24	19.31
Fe ₂ O ₃	0.62	0.85	1.25	1.38	0.62	3.47	4.36	3.05
FeO	0.74	0.72	0.36	0.74	1.92	1.74	1.56	0.68
MnO	0.06	0.06	0.05	0.05	0.07	0.11	0.11	0.08
MgO	0.35	0.24	0.20	0.27	0.84	2.11	1.43	1.32
CaO	1.54	1.25	0.11	tr.	2.66	4.09	3.45	0.79
Na ₂ O	3.80	3.30	1.52	1.30	3.90	3.24	2.00	2.30
K ₂ O	3.80	5.00	4.01	5.40	3.10	2.80	4.08	2.66
H ₂ O ⁺	1.16	1.11	4.92	4.08	0.54	0.57	5.04	4.78
H ₂ O ⁻	0.19	0.39	0.23	1.23	0.11	0.36	1.00	0.76
P ₂ O ₅	0.06	tr.	0.01	tr.	0.02	tr.	0.03	0.03
Total	99.63	100.33	100.23	100.46	100.03	100.70	100.11	100.49

長垂花崗岩(日本產)

NG-1 原岩

NG-2 風化初期岩

NG-3 風化中期岩

NG-4 風化末期岩

能吉島花崗閃綠岩(日本產)

NKG-1 原岩

NKG-2 風化初期岩

NKG-3 風化中期岩

NKG-4 風化末期岩

3-2 圖表에 依한 檢討

1 變化圖

SiO₂의 增減에 따르는 各 酸化物 即 Al₂O₃, Na₂O, K₂O, CaO, FeO 및 MgO 等의 變化하는 樣相을 보기 위해서 黃登山 花崗岩의 圖表(南基庠, 1972)와 함께 比較檢討 했다. 第 2 圖에서 보는 바와 같이 酸化物들의 移動範圍는 Na₂O와 FeO를 除外하고 모든 酸化物은 거의 비슷한 現象을 보여주고 있다.

이들 각각에 對해서 考察하면 다음과 같다. 本岩의 Al₂O₃는 風化의 中期에 增加를 보이다가 末期에는 減少를 하는 現像을 보이며 이는 黃登山化崗岩의 경우와 같다. Na₂O는 初期에 保合狀態 中期에 減少 末期에 增加現像을 보인다. 이것은 黃登山化崗岩의 경우와 差異가 있다. K₂O는 初期 및 中期에 계속적인 增加를 보이다가 末期에 減少現像을 보이는데 이것도 黃登山花崗岩의 경우와 같은 現像이다. CaO는 初期 및 中期에는 減少現像을 보이다가 末期에 增加現像을 보인다. 이것도 黃登山花崗岩의 경우와는 差異點이 있다. FeO는 계속적인 減少現像을 보여주고 있는데 이는 黃登山花崗岩에서와 같은 現像이다. 이같이 各 酸化物이 大體로 減少現像을 나타내는데 對해서 MgO는 初期에서 中期 및 末期에 이르기 까지 保合狀態가 아니면 增加現像을 보여주고 있는 것은 注目해야 할 것이다.

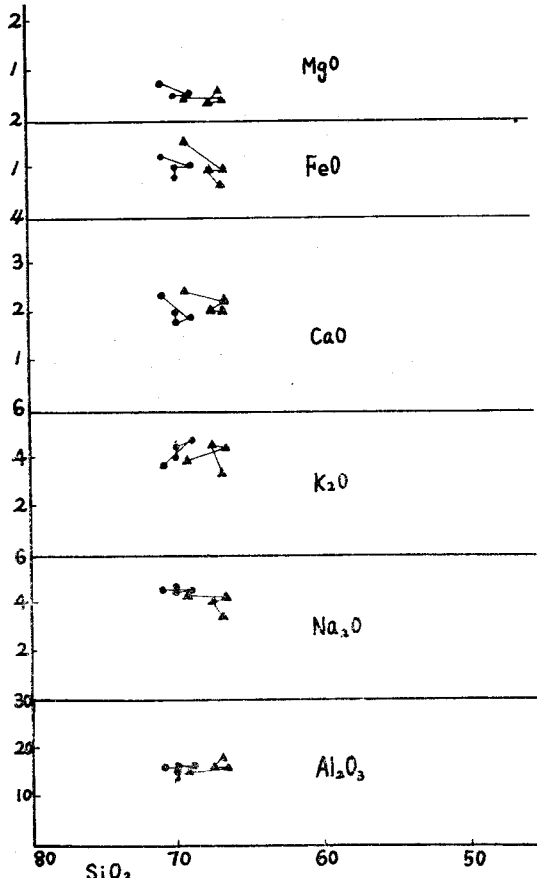


Fig. 2. Variation diagram for granite and weathered rocks. Solid circule is Baek Gu granite and their weathered rocks. Solid triangle is Hwang Dung granite and their weathered rocks. These symbol are used throughout all triangular diagram and figueres.

3 三成分圖

$MgO-(Na_2O+K_2O)-(Fe_2O_3+FeO)$ 의 三成分圖(第3圖)에서 MgO 는 初期減少 中期以後에는 增加現像을 보이고 있으며 (Na_2O+K_2O) 는 初期에 增加를 보이다가 中期및 末期에는 계속적인 減少를 보이고 있다. 이에 對하여 (Fe_2O_3+FeO) 는 初期에 減少, 中期및 末期에는 增加를 보여주고 있다. 이들 MgO , (K_2O+Na_2O)

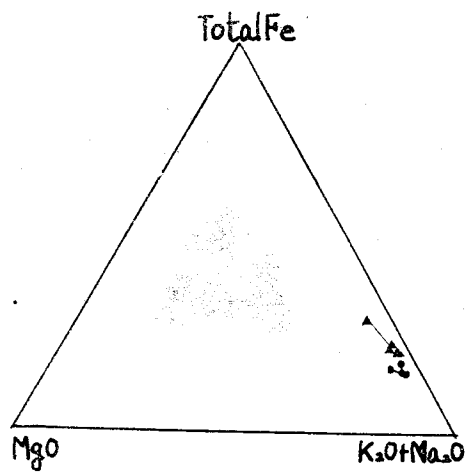


Fig. 3 Triangular diagram showing molecular ratio of $MgO-(Na_2O+K_2O)-(Fe_2O_3+FeO)$ of granitic rocks and their weathered rocks

및 (Fe_2O_3+FeO) 의 變化現像是 花崗岩에서는 同一한 三成分의 移動關係를 考察할 수 있다.

K_2O-Na_2O-CaO 의 三成分圖(第4圖)에서 K_2O 는 增加現像을 初期 및 中期에 보이다가 末期에 가서는 두드러진 減少를 보이고 있으며 Na_2O 는 初期에서 減少를 보이다가 中期에 增加現像을 나타내기始作하여 末期에는 이亦是 두드러진 增加를 보이고 있다. CaO 는 初期에서 中期까지 減少現像을 보이다가 末期에는 增加現像을 보여 준다. 이들 三成分 關係圖에서는 各 成分들이 黃登山 花崗岩의 경우와 같이 增減現像을 보여 준다. 이같은 現像是 花崗岩의 主要 造岩礦物인 長石類의 風化에 따르는 異質性의 結果에서 오른 것이라고 해석된다.

$H_2O-(MnO+MgO+Fe_2O_3+FeO)-(CaO+K_2O+Na_2O)$ 의 三成分圖(第5圖)에서 H_2O 는 初期 및 中期에는 두드러진 增加現像을 보이다가 末期에는 이에 못지 않는 減少現像을 보이고 있다. $(MnO+MgO+Fe_2O_3+FeO)$ 는 初期에 減少現像을 보이다가 中期 및 末期에 이르면서 계속적인 增加現像을 보이고 있다. $(CaO+K_2O+Na_2O)$ 는 初期에 增加 中期에 이르면서 減少現像을 보이다가 末期에 가서 增加現像을 보이고 있다. 여기서 注目할 것은 黃登山 崗岩에서는 H_2O 가 初期에 두드러진 增加를 보이다가 末期에 減少를 보여주는 것과 相異點 및 $(CaO+K_2O+Na_2O)$ 의 末期에 가서의 增加現像이라 하겠다. 이같은 現像是 黃登山 花崗岩에서도 指摘한바와 같이 初期風化에서는 物理的인 風化가

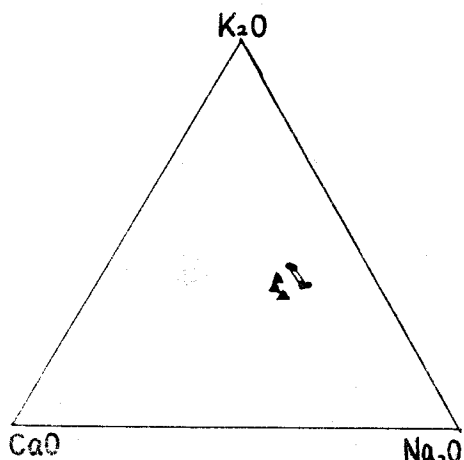


Fig. 4. Triangular diagram showing molecular ratio of K_2O-Na_2O-CaO of granitic rocks and their weathered rocks.

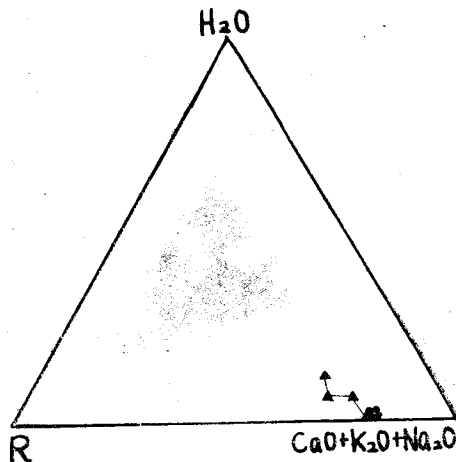


Fig. 5. Triangular diagram showing molecular ratio of $H_2O-(MnO+MgO+FeO+Fe_2O_3)-(CaO+K_2O+Na_2O)$ of granitic rocks and their weathered rocks.

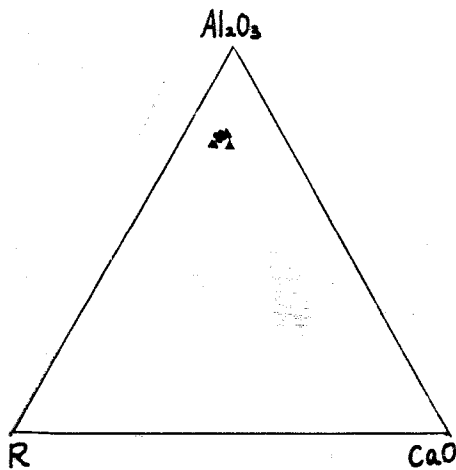


Fig. 6. Triangular diagram showing molecular ratio of Al_2O_3 - CaO - $(\text{MnO}+\text{Mg}+\text{FeO}+\text{Fe}_2\text{O}_3)$ of granitic rocks and their weathered rocks.

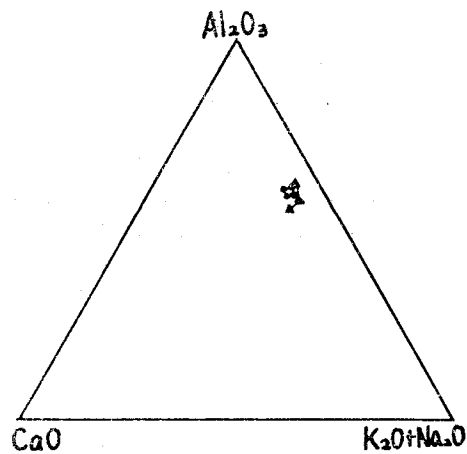


Fig. 7. Triangular diagram showing molecular ratio of Al_2O_3 - CaO - $(\text{K}_2\text{O}+\text{Na}_2\text{O})$ of granitic rocks and their weathered rocks.

앞서기 때문에 溶解流失이 거의 없다가 다시 말하여 相對的인 成分의 增加만을 보이다가 中期以後 末期에 가서 成分移動現像을 뚜렷이 나타낸다고 하겠다.

Al_2O_3 - CaO - $(\text{MnO}+\text{MgO}+\text{Fe}_2\text{O}_3+\text{FeO})$ 의 三成分圖(第6圖)에서 Al_2O_3 는 初期 및 中期에 이르는 過程에서 增加를 보이다가 末期에 가서는 減少現像을 보이고 있다. CaO 는 初期 以後 계속적인 減少現像을 보이다가 末期에 가서 幅이 狹으면서도 增加現像을 보이고 있다. 이같은 現像是 第4圖에서도 똑같이 考察되어지고 있다. 이는 CaO 의 移動性向이라 볼수 있으며 黃登山花崗岩의 경우에도 같은 性向을 보이고 있다. ($\text{MnO}+\text{MgO}+\text{Fe}_2\text{O}_3+\text{FeO}$)도 初期 및 中期에 이르면서 減少를 보이다가 末期에 가서 增加를 보이고 있는데 이는 第5圖에서와 同一한 性向이라 해석된다. 이들의 三成分關係도 黃登山花崗岩의 경우와 비슷한 性向이라 할수 있다.

Al_2O_3 - CaO - $(\text{K}_2\text{O}+\text{Na}_2\text{O})$ 의 三成分圖(第7圖)에서 Al_2O_3 는 初期 減少 中期 增加 末期 減少現像을 보이는 데 第6圖에서의 初期增加 中期增加 末期減少 現像과 비슷한 性向이라 하겠다. 그러나 黃登山花崗岩의 大體의 增加現像是 相異한 現像이라 하겠는데 이는 CaO 의 初期 減少 및 $(\text{K}_2\text{O}+\text{Na}_2\text{O})$ 의 增加現像을 보여주는 것과 相對의인 것이다 하겠다. CaO 는 初期 및 中期에 계속적인 減少를 보이다가 末期의 增加現像是 第6圖의 경우와 一致하고 있다. $(\text{K}_2\text{O}+\text{Na}_2\text{O})$ 는 增加 減少 以後에 保合現像을 維持하고 있는데 第3圖의 경우와

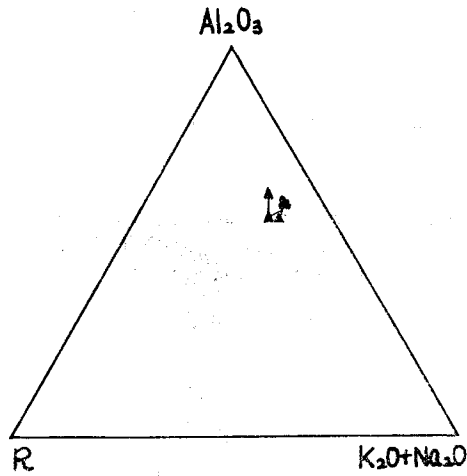


Fig. 8. Triangular diagram showing molecular ratio of Al_2O_3 - $(\text{MnO}+\text{MgO}+\text{FeO}+\text{Fe}_2\text{O}_3)$ - $(\text{K}_2\text{O}+\text{Na}_2\text{O})$ of granitic rocks and their weathered rocks.

비슷한 性向을 보여주고 있다. 이들 三成分關係는 黃登山花崗岩의 風化에 따른 現像是 相異點을 考察할 수 있는데 既述한바와 같이 CaO 및 $(\text{K}_2\text{O}+\text{Na}_2\text{O})$ 등의 相對의인 增減現像과 關連이 있으리라 생각 되어진다.

Al_2O_3 - $(\text{MnO}+\text{MgO}+\text{Fe}_2\text{O}_3+\text{FeO})$ - $(\text{K}_2\text{O}+\text{Na}_2\text{O})$ 의 三成分圖(第8圖)에서 Al_2O_3 는 第7圖에서와 같은 性

向을 나타내고 있으나 第6圖와는 第7圖에서 說明한 대로 相異한 現像을 보이고 있다. ($MnO + MgO + Fe_2O_3 + FeO$)는 第5圖 第6圖와 비슷한 性向을 보여주고 있으며 ($K_2O + Na_2O$)도 第3圖 第7圖에서와 같이 初期에 增加 中期以後에 減少現像을 보이는 것은同一한 性向이라 하겠다. 黃登山花崗岩과 比較할 때 Al_2O_3 는 末期에 가서 黃登山花崗岩은 增加現像을 보이는데 반하여 減少現像을 보이고 있는 것이 相異點이

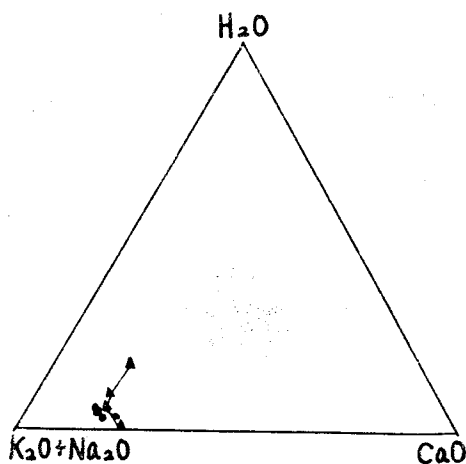


Fig. 9. Triangular diagram showing molecular ratio of $H_2O - (K_2O + Na_2O) - CaO$ of granitic rocks and their weathered rocks.

라 하겠다. ($MnO + MgO + Fe_2O_3 + FeO$)도 初期 및 中期까지는 同一性向을 보이다가 末期에 가서 黃登山花崗岩은 減少現像을 보이는데 여기서는 增加現像을 보이는 것은 Al_2O_3 와의 相關關係라 보여진다. ($K_2O + Na_2O$)는 大體의으로 同一性向으로 減少를 보여 주고 있다.

$H_2O - (K_2O + Na_2O) - CaO$ 의 三成分圖(第9圖)에서 H_2O 는 初期 및 中期에 增加를 보이다가 末期에 가서 減少를 보이는 것은 第5圖와 同一性向이라 하겠다. ($K_2O + Na_2O$)는 初期增加 中期減少에서 末期까지 保合狀態를 보이고 있는데 이는 第3圖 및 第7圖와 비슷한 性向을 보여주고 있다.

CaO 는 初期減少 中期減少 末期增加現像을 보이고 있는 것은 第4圖 第6圖 및 第7圖와 비슷한 性向을 보여주고 있다. 黃登山花崗岩과 比較할 때 H_2O 의 末期減少現像是 相異點인데 이는 ($K_2O + Na_2O$)가 中期 및 末期까지 保合狀態인데 對하여 黃登山花崗岩의 경우에는 두드러진 減少現像을 보여주는 것과 相關關係로 해석된다. 그리고 CaO 는 비슷한 性向임이 考察되었다.

$H_2O - Na_2O - K_2O$ 의 三成. 圖(第10圖)에서 H_2O 는 第5圖, 第9圖에서와 같이 增加가 初期 및 中期까지 계속하다가 末期에 減少現像을 보여주고 있다. Na_2O 는 初期에 減少現像을 보이다가 中期以後 末期에 이르기까지 增加現像이 계속적이다. 이는 第4圖에서와同一한 性向을 보여주고 있는 것이다. K_2O 는 初期에 增加 中期以後에 減少를 보이고 있는 것은 亦是 第4圖에

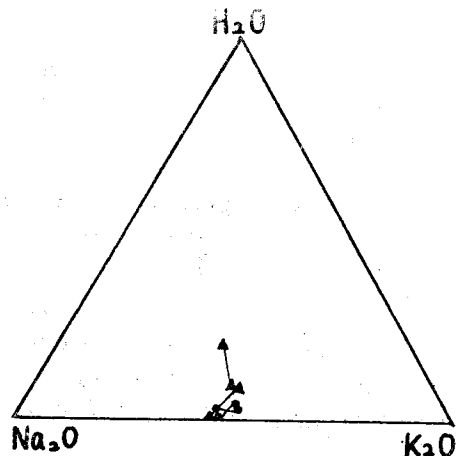


Fig. 10. Triangular diagram showing molecular ratio of $H_2O - Na_2O - K_2O$ of granitic rocks and their weathered rocks.

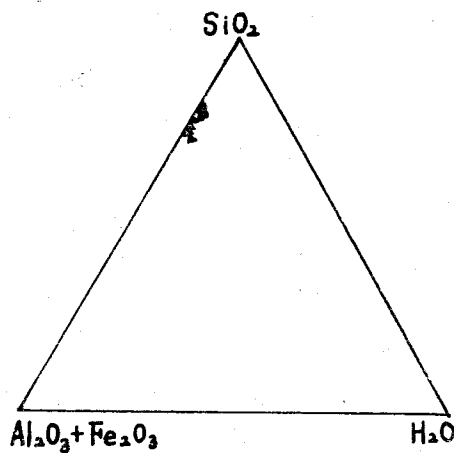


Fig. 11. Triangular diagram showing molecular ratio of $SiO_2 - Al_2O_3 - H_2O$ of granitic rocks and their weathered rocks.

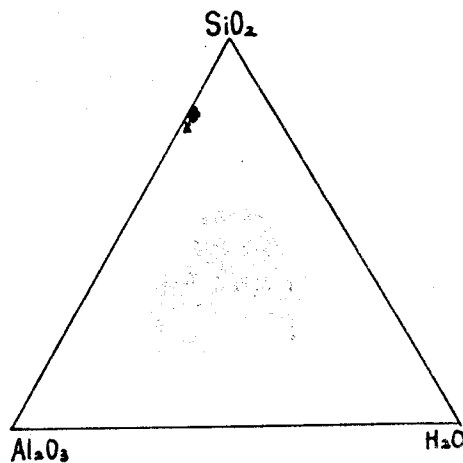


Fig. 12. Triangular diagram showing molecular ratio of $\text{SiO}_2-(\text{Al}_2\text{O}_3+\text{Fe}_2\text{O}_3)-\text{H}_2\text{O}$ of granitic rock sand their weathered rocks.

서 보여주는 바와 同一한 性向이라 하겠다. 黃登山 花崗岩과는 H_2O 의 末期에서의 減少現像이라 하겠으며 이는 Na_2O 의 增加現像과의 相關關係라 해석 된다.

$\text{SiO}_2-\text{Al}_2\text{O}_3-\text{H}_2\text{O}$ 의 三成分圖(第11圖)에서 SiO_2 는 初期에 減少를 보이다가 中期및 末期에는若干의 增加를 보이고 있기는 하나 大體的으로 保合狀態를 維持한다 Al_2O_3 는 第6圖와 비슷한 性向을 보이면서 變化하고

제 2 표 試料의 各酸化物의 比.

Sample No	$\text{FeO}/\text{Fe}_2\text{O}_3$	FeO/MgO	$\text{K}_2\text{O}/\text{N}_2\text{O}$	$\text{Al}_2\text{O}_3/\text{CaO}$	$\text{Alkali}/\text{Al}_2\text{O}_3$	$\text{SiO}_2/\text{Al}_2\text{O}_3$	$\text{SiO}_2/\text{K}_2\text{O}$
B G-1	1.79	1.76	0.83	6.82	0.52	4.53	18.85
B G-2	1.17	2.05	1.05	8.51	0.57	4.25	14.49
B G-3	1.07	2.01	1.01	9.08	0.54	4.35	15.77
B G-4	0.61	1.58	1.83	7.73	0.55	4.43	17.47
H G-1	1.83	1.83	0.87	6.41	0.53	4.35	17.77
H G-2	0.73	0.73	1.00	7.96	0.52	3.87	14.90
H G-3	0.69	0.69	1.01	8.10	0.52	3.97	15.04
H G-4	0.31	0.31	0.98	8.47	0.39	3.73	19.44
N G-1	1.19	2.11	1.00	9.49	0.52	4.97	4.21
N G-2	0.85	3.00	0.66	12.14	0.55	4.75	4.21
N G-3	0.29	1.80	0.38	15.60	0.32	4.07	3.76
N G-4	0.56	2.74	0.24	—	0.57	6.36	4.97
N K G-1	1.77	0.63	1.26	4.46	0.25	2.65	2.31
N K G-2	0.50	0.82	1.16	4.69	0.31	3.25	2.48
N K G-3	0.36	1.09	0.49	5.00	0.35	3.44	2.49
N K G-4	0.22	0.52	0.86	24.40	0.62	3.34	2.75

있는데 即 初期에 增加 中期에 保合狀態를 末期에 減少現像을 보여주고 있는 點이다. 그러나 第7圖와의 相異點은 第8圖에서 既述한대로이다. H_2O 는 第5圖, 第9圖, 第10圖等에서와 같이 初期에 增加 末期에는 減少를 보여준다. 黃登山 花崗岩과의 比較에서 SiO_2 는 大體로 비슷한 性向이고 Al_2O_3 및 H_2O 는 既述한 바와 같다.

$\text{SiO}_2-(\text{Al}_2\text{O}_3+\text{Fe}_2\text{O}_3)-\text{H}_2\text{O}$ 의 三成分圖(第12圖)에서 SiO_2 는 第11圖에서처럼 初期에 減少를 보이다가 中期및 末期에若干의 增加를 보이기는 하나 保合狀態를 維持한다고 해석 되어진다. $(\text{Al}_2\text{O}_3+\text{Fe}_2\text{O}_3)$ 는 初期에 增加를 보이다가 中期및 末期에는 保合狀態를 維持한다고 해석된다. H_2O 는 第5圖 第9圖 第10圖 및 第11圖 등에서와 비슷한 性向이라 하겠다. 黃登山 花崗岩과의 比較는 SiO_2 및 H_2O 에 對해서의 性向은 既述한 바 있거니와 $(\text{Al}_2\text{O}_3+\text{Fe}_2\text{O}_3)$ 는 同一한 性向이라 해석 된다.

3. 各 酸化物의 比의 檢討

酸化物을 比較 檢討하기 위하여 黃登山 花崗岩도 같이 計算하여 第2表에 나타냈다. $\text{FeO}/\text{Fe}_2\text{O}_3$ 는 黃登山 花崗岩의 경우와 같이 初期以後 계속적인 減少現像을 보여주고 있음을 볼때 日本地域에서의 花崗岩類와도 同一한 性向임을 말해주는 것이다. FeO/MgO 는 黃登山 花崗岩의 경우처럼 계속적인 減少現像을 보여주는 것이 아니라 初期增加 中期減少를 거쳐서 末期에는 뚜렷한 減少를 나타내고 있다. 이는 日本地域에서는 玄

武岩에서 보여주는 現像이다. K_2O/Na_2O 는 黃登山 花崗岩의 경우에서와 같이 初期 및 中期에는 增加 末期에는 減少 現像을 보여주고 있다. Al_2O_3/CaO 는 初期 및 主期까지는 黃登山 花崗岩의 경우처럼 계속적인 增加를 보이다가 末期에 가서는 그 性向을 바꾸어 減少 現像을 보여주고 있다. K_2O+Na_2O/Al_2O_3 는 大體로 保合狀態를 維持하고 있다고 보여지나 詳細히 考察하면 初期에 減少 現像 主期에 保合狀態를 그리고 末期에는 減少 現像을 보여주는 黃登山 花崗岩의 경우와는 달리 初期에는 增加 現像 中期에는 減少 現像 末期에는 增加 現像을 보여주는 데 이들의 幅은 아주 좁다.

SiO_2/Al_2O_3 는 黃登山 花崗岩의 初期 減少 中期 增加 末期 減少의 現像에 比해서 初期 減少 以後 계속하여 末期까지 增加 現像을 보여주는 것이 相異點이다. SiO_2/K_2O 는 黃登山 花崗岩의 경우 똑같이 初期 減少 以後에는 中期 및 末期에 이르기까지 계속 增加 現像을 보여준다는 點이다.

4. 風化의 포텐셜(potential)

風化의 포텐셜을 나타내기 위하여 橫軸에 $SiO_2/SiO_2 + R_2O_3$ 의 百分率을 取하고 縱軸의 $CaO+Na_2O+K_2O+MgO-H_2O/SiO_2+Al_2O_3+Fe_2O_3+CaO+Na_2O+K_2O+$

MgO 의 百分率을 取하여 第13圖로 써 나타냈다.

이 경우 縱軸方向의 變化가 큰 것을 우리는 風化的 포тен셜이 크다고 말하고 있다. 여기서 考察할 수 있는 것은 日本地域에서의 花崗岩類의 風化포тен셜 보다 幅이 좁고 黃登山 花崗岩의 경우보다도 幅이 좁다는 것이다. 即 第13圖에서 白鷗花崗岩의 風化포тен셜은 日本地域 및 黃登山 花崗岩보다 風化포тен셜이 적다는 것이다. 이것은 氣象條件 및 地域의 要因들을 생각해야 할 것이다. 이는 우리 나라와 日本地域에서의 風化포тен셜에는 두드러진 差異가 있다는 것을 말해준다고 해석할 수 있다.

4. 風化作用의 過程

(從來의 說에 立脚한 解釋)

SiO_2 原岩가운데의 硅酸鹽礦物이 分解되는 途中 硅酸이 遊離해서 알카리硅酸鹽의 型으로 移動하는 것 같다. (第10圖, 第11圖, 第12圖) 硅酸의 溶解度는 PH가 크면 클수록 크고 溶液가운데에 碳酸가 쓰의 含有量이 어느 程度 있으면 溶解度가 크다고 알려져 있다. 이는 黃登山 花崗岩의 경우처럼 初期에 減少 現像 中期 및 末期에 減少를 보이는 것은 風化作用을 일으키는 要因의 差가 環境으로 說明되어질 것 같다. 即 一次의으로 알카리酸鹽을 形成할 SiO_2 는 溶失現像을 보이거나 알카리硅酸鹽을 形成 殘溜시켰다고 해석할 수 있을 것 같다. 이는 이곳 白鷗地方처럼 溫帶氣候條件下에서는 PH의 變化가 그다지 크다고 볼 수 없기 때문에 環境條件의 變化로 그 成分 移動의 要因을 說明해야 할 것 같다. 即 처음에 어떤 環境의 變化가 있을 때는 硅酸의 移動이 오는데 이 地域에서는 結果的으로 減少 現像을 보이거나 風化岩가운데서 含水硅酸鹽이 豐富한 部分이나 알루미나硅酸鹽이 豐富한 部分 또는 酸化第一鐵含水硅酸鹽의 混合物이 豐富하지 못할 때는 그다지 移動하지 않는 狀態이고 이에 對하여 相對的으로 他成分이 移動함으로써 增加 現像을 보인다고 해석되어진다. 換言하면 他元素가 溶脫하면 곁보기에 硅酸이 增加하는 것 같다고 해석할 수 있는 것이다.

Al_2O_3 는 風化하여 移動하기 어려운 元素라고 하는 것이 從來의 學說이다. 第6圖, 第7圖, 第8圖 및 第11圖등에서 考察되어지는 바와 같이 保合狀態乃至 增加 現像을 보여주고 있다. 一般的으로 알려져 있는 原岩가운데의 造岩礦物인 알루미나 硅酸鹽礦物은 酸性溶液 (PH 3.5~3.7) 가운데서는 kaoline型 粘土로써 弱알카리性 (PH 7.8~8.5) 가운데서는 montmorillonite型 粘土로써 殘溜한다고 알려져 있는 事實을 反證해주는 것이다. 그렇기 때문에 初期 風化作用을 받는다고

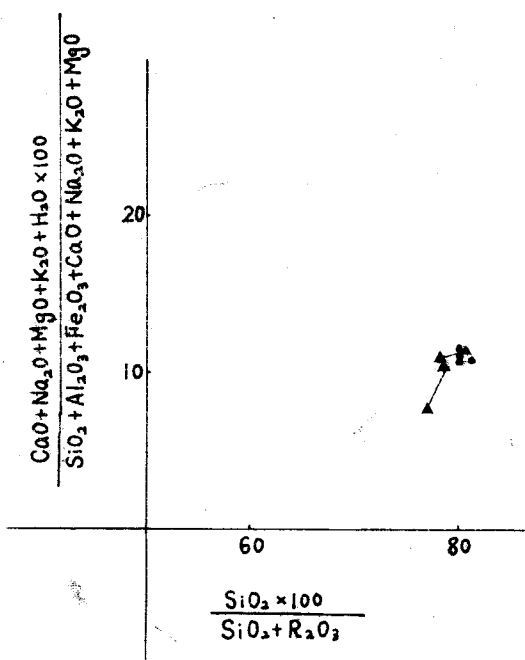


Fig. 13. Weathering potential index.

생각되어지는 斜長石(特히 灰長石) 등은 위에 列舉한 여러型의 粘土礦物로서의 組成으로 參加하여 그대로 殘溜한다고 해석할 수 있을것 같다. 이같은 事實들은 三成分圖의 여리곳에서 考察 되어진다.

Fe (Iron)은 風化作用을 받아 溶失하기 어렵다는 것 이 從來의 學說이며 第12圖에서 보여주는 바와 같이 大體의인 增加 또는 第3圖 第5圖 및 第6圖등에서처럼 增加現像을 볼수 있는데 反해서 第8圖에서 減少現像을 보이는 것은 A_2O_3 의 相關關係로 解釋할 수 있을것 같다. Fe는 初生의 主要造岩礦物가운데 存在하여서 이들 矿物이 溶解할때 Fe^{++} 乃至 Fe^{+++} 또는 水酸化物 水和物로 變化한다. Fe^{+++} 는 pH 2-4 以上的 環境에서沈澱을 한다. 그런데 Fe^{++} 는 pH 5-7 以下에서 溶液中에 成分으로써 存在할수 있다고 알려져 있다. 그런데 風化末期岩의 경우 pH 5-7이며 그 밖의 風化初期岩에서는 pH 2 또는 그 보다 크기 때문에 새로이 생성된 Fe_2O_3 는 風化末期岩側에 酸化物 또는 水酸化物의 型으로 濃集되어진다고 해석할수 있다. 換言하면 全體의으로 風化末期岩側에서 mafic elements (特히 Fe^{+++})의 增加現像을 보여주는 것과 一致한다고 해석할 수 있다.

CaO , (Calcium)은 原岩의 造岩礦物의 成分으로써 있다가 分解할때 (化學의으로) 遊離溶失하거나 또는 溶解하기 때문에 새로운 化合物를 形成 殘溜한다는 것이 第4圖 第5圖 第6圖 第7圖 第9圖등에서 보여주는 바와 같다. 即增減現像의 一律性이 없음을 말해주는 것으로 三成分圖뿐 아니라 化學分析值에서도 考察할수 있다.

Mg (Magnesium)은 비교적 高溫狀態의 造岩礦物 形成期에 형성된 矿物中에 들어있는 成分이라 할수 있으며 第3圖에서 보여주는 바와 같이 初期減少現像을 보이는 것은 造岩礦物이 溶解流失하다가 中期및 末期에 가서는 他成分과의 相關關係로 增加現像을 보여 주고 있다. 結果의으로 溶解流失하기 어려운 元素라 해석되어 진다.

Na_2O (Natrium)은 原岩의 造岩礦物이 風化가 進行됨에 따라 生成된 알카리元素化合物은 두드러진 溶解現像을 보여준 黃登山 花崗岩의 경우와는 相異하다. 即 여기서는 初期에 減少를 보이다가 中期및 末期에 계속적인 增加現像을 보이는 것은 地域의in 特殊性을 認定하지 않을때 注目을 끄는 點이라 하겠다.

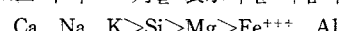
K_2O (potassium)은 Na 의 경우처럼 溶易性 元素로서 溶脫風化產物이 流失되어진다고 分析結果에서 말해 주고 있다. 이는 암카리硅酸鹽礦物인 造岩礦物이 비교적

風化에 對한 저항력이 弱해 一律性 있는 變化 即 增加나 減少를 보여주지 아니한다고 볼수 있다. 初期및 中期에는 他 造岩礦物의 溶解流失로 增加現像을 보이다가 末期에 가서는 自身의 溶解流失로 減少現像을 보여 주는 것이다 하겠다.

5. 結論

白鷗花崗岩의 原岩, 風化初期岩, 風化中期岩의 化學分析值와 이를 土臺로 한 各圖表의 解釋結果로부터 다음과 같은 結果를 얻었다. 이를 比較 檢討하기 위해서 黃登山 花崗岩의 原岩, 風化初期岩, 風化中期岩, 風化末期岩의 分析值도 같이 引用 活用했다.

가) 風化初期岩 即 風化의 初期및 風化中期岩 即 風化的 中期에서는 水酸化物의 形成을 보이면서 적은 量이면서도 SiO_2 의 溶解流失을 보여줌과 同時に Fe , Mg 의 硅酸鹽礦物의 뚜렷한 酸化가 일어나고 또한 少量의 Fe , Mg 가 流失되고 이에 대해 Ca , K , Na 는 계속적인 流失現像을 보여준 黃登山 花崗岩의 경우와는 달리 初期風化岩 및 中期風化岩에서는 增加를 보여주다가 末期風化岩에서 增加를 보여준 것은 注目할점이라 하겠다. 또한 風化가 더욱 進展되어 末期風化岩에 이르게 되면 Na 는 流失되어진 것과는 큰 相異點이라 하겠다. Fe 는 거의 全部가 三價의 Fe 로 變化되어지고 SiO_2 는 相對적으로 增加現像을 보여준다. 여기서 各成分의 流失度가 큰것으로 부터 그 列을 表示하면 다음과 같다.



다) H_2O 의 增減現像으로 미루어 볼 때 全體의으로 初期 및 中期에 增加現像을 보이는 것은 이 時期가 粘土礦物이 形成되어지는 時期라 볼수 있으며 末期에 가서는 H_2O 의 減少現像이 보이는데 이것은 相對的인 것이고 實質의인 것은 아니라 해석된다.

다) 花崗岩類가 風化되어 形成하는 粘土礦物로서 halloysite, illite, kaolinite, montmorillonite 등은 風化的 中期까지가 될것이며 末期에는 두드러진 것은 없으리라 해석된다.

라) FeO/MgO , FeO/Fe_2O_3 및 SiO_2/Al_2O_3 의 增減現像是 黃登山 花崗岩의 경우와 같다.

마) 風化 포тен셜은 第13圖에서 보여주는 바와 같이 Ca , Na , K , Mg 등의 減少 H_2O 의 增加는 花崗岩類의 特徵이며 幅이 좁다는 것을 말해준다.

바) MgO 는 他成分과는 달리 保合狀態가 아니면 增加現像을 보여주고 있다.

Reference

- Harris, R.C. and Adams, J.A.S. (1966); Weathering of Woodstock granite, near Baltimore, Maryland. Amer. Jour. Sci., 265 pp. 146-173.
- Lisityna, N.A. and Gazeiko, S.D. (1967); New data on the weathered Labradorite curst of the Northwestern part of Ukraine crystalline shield. Amer. Jour. Sci., 266 pp. 403-408.
- Kisang Nam (1971) Variation of Chemical composition and Relative movement of Important Elements on the weathering of Granitic and basaltic rocks.
- Kisang Nam (1972); A study of chemical composition of Hwang Dung granite. Jeonbuk N. Univ/Theses collection 14 pp. 211-217.
- Kisang Nam (1973); Variation of Composition and Relative movement of major Elements on the Weathering of Hwang Dung granite.
- Wolff, R.G. (1967); Geochemical and Mineralogical studies on the weathering of granite rock. Amer. Jour. Sci., 266 pp. 106-117.